



مدیریت بهره برداری بهینه از منابع آب سطحی با کاربرد برنامه ریزی پویا

نیره میهن خواه^۱- امیرحسین چذری^{۲*}- صادق خلیلیان^۳

تاریخ دریافت: ۱۳۹۱/۳/۱

تاریخ پذیرش: ۱۳۹۱/۱۱/۷

چکیده

در این مطالعه مدل بهره برداری بهینه از سد چند منظوره لتبیان با هدف تخصیص بهینه آب از مخزن سد، جهت تأمین نیاز آبی اراضی کشاورزی دشت ورامین و نیاز شرب شهر تهران، برآورده شده است. رعایت اولویت‌های تخصیص آب میان اهداف مختلف سد ازجمله عرضه آب برای آبیاری، آب آشامیدنی و تولید انرژی بر قابی که با یکدیگر در رقابت می‌باشند، مدنظر بوده است. با در نظر گرفتن عدم قطعیت مقدار جریان ورودی آب به سیستم سد، مسئله بهره برداری از سد بر اساس دو دیدگاه تجزیه و تحلیل میانگین داده‌های سری زمانی به وسیله مدل‌های پیش‌بینی SARIMA و افزایش‌بندی فازی با استفاده از احتمالات گذار مارکوفی مورد مطالعه قرار گرفت. در نهایت با استفاده از مدل‌های پویای قطعی و تصادفی سیاست‌های بهره برداری بهینه به ازای حالات مختلف (از نظر ماه آغازین، حجم آب اولیه مخزن و آبدی ماه قبل) محاسبه گردید. داده‌های مورد استفاده مربوط به دوره زمانی ۱۳۸۹-۱۳۵۵ می‌باشد. نتایج حاصل از مدل شیوه‌سازی با سیاست‌های بهینه رهاسازی از دو مدل قطعی و تصادفی به وضوح موئید آن است که مدل تصادفی بر اساس افزایش‌بندی فازی نسبت به مدل قطعی برای تعیین رهاسازی بهینه آب مخزن میان منافع مختلف رقیب حاصل از سد از جمله نیاز آبی اراضی کشاورزی دشت ورامین و نیاز شرب شهر تهران بهتر عمل می‌کند.

واژه‌های کلیدی: بهره برداری بهینه سد، افزایش‌بندی فازی، احتمالات گذار مارکوفی، برنامه‌ریزی پویا، مدل‌های پیش‌بینی SARIMA

معادلات غیر خطی نیازمند است. استفاده از مدل‌های ریاضی پویا به دلیل لحاظ نمودن ویژگی‌های غیرخطی و تصادفی، در بهره برداری بهینه از مخازن سدها طی چند دهه گذشته آغاز شده است^(۹). استارلریج و بوراس^(۱۵) با فرض وابستگی جریان‌های رودخانه‌ای به دوره قبل، از برنامه ریزی پویای احتمالی (SDP)^(۴) برای بهره برداری مخزن، استفاده نموده‌اند. تیلمونت و همکاران^(۲۲) با استفاده از برنامه‌ریزی پویای احتمالی فازی^(۵) به بررسی سیاست بهره برداری از یک مخزن چند منظوره در مراکش پرداخته‌اند. کاربوسکی و همکاران^(۱۷) با بررسی آب‌های سطحی و با منظور نمودن دو عامل پیش‌بینی جریان ورودی و میزان آب خروجی، مدیریت بهینه مخزن سدی را در لهستان مورد بررسی قراردادند. لاتگ و همکاران^(۱۹) و آلسی چیمز^(۱۴) با استفاده از مدل‌های بهینه سازی تصادفی و زائو و همکاران^(۲۵) با لحاظ نمودن اثر عدم قطعیت در پیش‌بینی جریان ورودی به مخزن، بهره برداری بهینه سد را مورد ارزیابی قرارداده‌اند. در ایران نیز مطالعاتی در خصوص مدیریت بهره برداری از مخزن سد به ویژه در سال‌های اخیر انجام شده است. موسوی و

مقدمه

محدودیت منابع آب در مقایسه با روند روزافزون رشد تقاضا و تشدید رقابت میان نیازهای آبی بخش‌های کشاورزی، صنعت و شرب در دهه‌های اخیر، سبب اهمیت مدیریت بهره برداری از منابع آبی شده است^(۶). یکی از ارکان مدیریت منابع آب، بهره برداری بهینه از مخازن سدها به عنوان اصلی‌ترین منابع آبهای سطحی است. مخازن با تنظیم جریان رودخانه در امر بهبود توزیع نامنظم آب از نظر زمانی و مکانی، نقش مهمی را در جهت کاهش خسارات ناشی از کمبود آب، ایفا نموده و علاوه بر تأمین آب برای مصارف شرب، کشاورزی و صنعت در کنترل سیالاب، تولید برق و جذب توریسم و پرورش آبزیان نقش مؤثری دارند^(۱). در یک سد چند منظوره، تعدد اهداف و محدودیت‌ها و وجود پیوستگی میان عوامل مختلف، موجب می‌شود بهینه سازی آن‌ها با یکدیگر، در تعارض و رقابت قرار گیرد. لذا بهره برداری مخزن، شامل ایجاد تصمیمات متوالی است که به حل

4-Stochastic Dynamic Programming
5-Fuzzy Stochastic Dynamic Programming

۱- دانشجوی دکتری و دانشیار گروه اقتصاد کشاورزی، دانشگاه تربیت مدرس
۲- استادیار دانشکده اقتصاد و توسعه کشاورزی، پردیس کشاورزی و منابع طبیعی،
دانشگاه تهران
*) - نویسنده مسئول: (Email:chizari8000@ut.ac.ir)

دلیل رفتار تصادفی آن، دارای اهمیت بسیاری است (۱۵). برای تدوین یک مدل مناسب پیش بینی، روش های متعددی بر اساس تکنیک های ریاضی وجود دارد که در این مطالعه از روش مدل های پیش بینی ARIMA و نیز تئوری فازی استفاده می شود.

۱ ARIMA مدل های

مدل های رگرسیون و اتورگرسیون با میانگین متحرک (ARIMA) مدل های مناسبی برای پیش بینی سری های زمانی همانند جریان های ماهانه دبی ورودی به سد می باشند (۲). برای برآش مدل ARIMA مناسب، چهار مرحله شناسایی مدل، برآورد پارامترهای مدل، بررسی کفايت مدل و پیش بینی با مدل انتخابی، لازم و ضروری است (۲۰).

اگر یک مدل ARIMA هم دارای اجزاء فصلی (P,D,Q) و غیرفصلی (p,d,q) باشد، که بعد از دوره زمانی منظمی تکرار می شود، سری نایستای فصلی {X_t} با دوره تناوب مشخص را SARIMA می گوییم. یک مدل SARIMA به صورت زیر بیان می شود.

$$\varphi(B)\Phi(B^d)(1-B)^D y_t = \theta(B)\Theta(B^d)(1-B)^P e_t \quad (1)$$

، سری اصلی، e_t سری تصادفی با میانگین صفر و واریانس δ^2 ، پارامترهای B^d, D, Θ, Φ ، B ، به ترتیب ضرایب تفاضلی، پارامترهای مدل میانگین متحرک، پارامترهای مدل آتو رگرسیو و عملگر پسرو برای اجزاء فصلی و ضرایب d ، B ، θ ، φ به ترتیب ضرایب تفاضلی، پارامترهای مدل میانگین متحرک، پارامترهای مدل آتو رگرسیو و عملگر پسرو برای اجزاء فصلی می باشد.

شناسایی مدل با استفاده از برخی معیارها انجام می گیرد. در این تحقیق از معیار آکائیک (AIC) استفاده شده است.

$$AIC(I) = N \ln(\delta_{\sigma}^2) + 2n_i \quad (2)$$

که I معرف تعداد مدل های منتخب n_i تعداد پارامترها (مجموع مرتبه های خود همبسته و میانگین متحرک)، N تعداد داده های مشاهداتی، δ انحراف معیار مدل است. بهترین مدل با کمترین مقدار آکائیک برگزیده می شود (۱۱).

فرآیند مارکف و زنجیره مارکف^۳ : هرگاه میان داده های متولی که دارای یک مولفه تصادفی هستند، همبستگی موجود باشد، به گونه ای که هر مرحله از مرحله قبلی و نه مراحل دیگر تعییت کند. آنگاه این پدیده را فرآیند مارکف می گویند. یک زنجیره مارکف حالتی از فرآیند

همکاران (۲۱) با ارزیابی مدل های برنامه ریزی تصادفی و منظور نمودن متغیر حالت ذخیره مخزن به عنوان یک متغیر فازی در سد دز، مومنی و رضایی (۹) با کاربرد برنامه ریزی پویا در سد ارس، سعدالدین و همکاران (۴) با کاربرد روش های تصمیم گیری چند معیاره در سد بوستان و نادر و صبوحی (۱۰) به منظور تخصیص بهینه آب سد مهاباد میان مصارف شرب و کشاورزی و تولید برق با استفاده از برنامه ریزی آرمانی، به بررسی مدیریت بهینه مخزن سد پرداخته اند.

از سوبی دیگر ویژگی تصادفی بودن آبدهی رودخانه و عدم قطعیت در آن، سبب انجام مطالعاتی جهت پیش بینی جریان رودخانه با استفاده از مدل های سری های زمانی گردیده است. کامورنیک و همکاران (۱۸)، جوانسکی و دلپیتروف (۱۶)، وو و چو (۲۴) هر کدام در مطالعاتی جداگانه با استفاده از مدل های سری زمانی، پیش بینی جریان رودخانه را مورد بررسی قرار داده اند. نتایج مطالعات فوق، حاکی از کارایی بالای مدل های مذکور در پیش بینی آبدهی رودخانه است. جلال کمالی و همکاران (۳) جهت پیش بینی جریان ماهانه ورودی به مخزن سد شهید عباسپور، از مدل های سری های زمانی استفاده کردند. طراز کار و صدیق (۶) با مقایسه روش های سری زمانی و هوش مصنوعی دبی جریان رودخانه کرخه را پیش بینی کردند. نتیجه بیانگر خطای کمتر سری زمانی بوده است. بشري و وفاخواه (۲) نیز با تجزیه و تحلیل سری زمانی داده های دبی ماهانه حوضه آبخیز کرخه به پیش بینی مقادیر آب پرداخته اند.

سد چند منظوره لتيان که بر روی رودخانه جاگرد در فاصله ۲۵ کیلومتری شمال شرقی تهران قرار دارد علاوه بر تولید انرژی و تأمین بخشی از آب شرب شهر تهران، جهت آبیاری ۳۰۰۰ هکتار اراضی کشاورزی دشت ورامین، مورد استفاده قرار می گيرد (۲۳). با توجه به استفاده بیش از حد از منابع آب زیرزمیني و افت سطح ايستای آن در دشت ورامين (۱۲)، مطالعه بهره برداری بهینه از منابع آب سطحی در اين منطقه به عنوان مکمل منابع زيرزمیني، اهمیت زیادي دارد. در اين تحقیق سعی شده ضمن تلفیق روش های به کار رفته در مطالعات فوق، نخست روابط حاكم بر سیستم سد مخزنی لتيان شناسایی شود. به این منظور دبی ورودی ماهانه به سد با دو روش تجزیه و تحلیل سری زمانی و نیز افزایشندی فازی توزیع احتمالات گذار مارکفی برآورد شده، سپس این روابط در قالب مدل های پویای قطعی و تصادفی ارائه می شود. پس از تعیین سیاست های بهره برداری بهینه از مخزن سد با استفاده از تکنیک شیوه سازی، حجم آب رها شده از مخزن جهت تأمین نیاز شرب شهر تهران و آبیاری اراضی دشت ورامین در طول دوره بهره برداری از سد تعیین می شود.

مواد و روش ها

در مدیریت بهره برداری مخازن، پیش بینی دبی ورودی رودخانه به

- 1- Auto regressive Integration Moving Average
- 2- Seasonal Auto regressive Integration Moving Average
- 3- Akaike information criterion
- 4- Markov chain
- 5- Fuzzy partition

G2: حداقل انحراف حاصل از رهاسازی و تقاضای آبیاری اراضی کشاورزی در طول هر ماه می باشد. R_{2t} مقدار آب رها شده از مخزن برای آبیاری، Q_{2t} حجم آب مورد نیاز جهت آبیاری اراضی کشاورزی در طول هر ماه می باشد. رهاسازی جهت تقاضای آب آبیاری، بعد از تامین تقاضای آب آشامیدنی است.

$$If H_t < H_{min} \quad G_3(t) = M^2 \times R_0 \quad (8)$$

Otherwise

G3: حداکثر تولید انرژی. جهت تولید انرژی برق آبی باید ارتفاع آب در مخزن از تولن توربین در پایان ماه H_t ، بیشتر از ارتفاع آب در تراز حداقل مجاز نسبت به توربین H_{min} باشد. برای کارکرد مخزن با ظرفیت کامل علاوه بر شرط اول باید $(H_t R_{tl})_{min} > (H_t R_t)$ باشد. R_{min} حداقل حجم آب مورد نیاز برای کار کردن توربین است

$$If t=1 \quad (9)$$

$$G_4(t) = M \times \min(R_{max} - R, 0) + M \times \min(S_{max} - FC - S_t, 0)$$

Otherwise

$$G_4(t) = M \times \min(R_{max} - R, 0)$$

G4: اجتناب از بروز سیالاب، به منظور جلوگیری از بروز سیل در ماه های خاص در مخزن سد، فضای مناسبی خالی نگهداری می شود. هر گونه انحراف از این هدف در تابع جرمیه با اولویت فوق مشخص می شود. R_{max} جداکثر مقدار آب رها شده از مخزن سد، R میزان آب رها شده برای اولویت های شرب و کشاورزی، FC حجم ذخیره کنترل سیالاب در مخزن و S_{max} جداکثر ظرفیت ذخیره مخزن است.

محدودیت های سیستم

۱- معادله پیوستگی تغییرات حجم آب مخزن:

$$S_{t+1} = S_t + Q_t - R_t \quad (10)$$

که در آن S_t حجم ذخیره مخزن در ابتدای دوره t و S_{t+1} حجم ذخیره مخزن در انتهای دوره t یا ابتدای دوره $t+1$ و Q_t مقدار آب ورودی در دوره t و R_t مقدار آب رها شده از مخزن سد در دوره t می باشد.

۲- رعایت بیشترین و کمترین حد مجاز برای حجم آب مخزن:

$$S_{min} \leq S_t \leq S_{max} \quad (11)$$

۳- رعایت فضای مناسب مخزن برای کنترل سیالاب احتمالی:

$$S_t \leq S_{max} - FC \quad (12)$$

در ادامه بر اساس الگوریتم بهینه سازی به تشریح مبانی کمی بهره برداری از یک مخزن با استفاده از برنامه ریزی پویا پرداخته می شود. سیاست بهینه برای مدل پویایی قطعی به روش پیشرو تعیین می شود. S_n حالت سیستم یا حجم مخزن، n مرحله یا ماه X_n هزینه اضافه شده در مرحله n به واسطه تصمیم $C(S_n, X_n)$ (رها سازی آب)، f^* روزینه حداقل از مرحله n فعلی به بعد است. رگرسیون مدل پویایی قطعی به شکل زیر است.

مارکف است که در آن متغیر X و زمان t هر دو گستته باشند (۱). در برنامه ریزی سیستم های منابع آب، ورودی های دوره ای آب به مخزن اغلب دارای خودهمبستگی است و این خود همبستگی بین ماه های متوالی زیادتر می شود. این امر سبب شده که این فرآیند به صورت یک زنجیره مارکفی در نظر گرفته شود لذا برای انتقال از یک تراز در دوره t به تراز دیگر در دوره $t+1$ یکتابع انتقال احتمال در نظر گرفته می شود. فرآیند احتمال انتقال بین حالت های مختلف با تخمین نقطه ای به صورت زیر محاسبه می شود (۱۳).

$$P(Q_{j,t+1} = q_{j,t+1} | Q_{it} = q_{it}) = p_{ij}^t \quad (3)$$

P_{ij}^t احتمال مقدار آب ورودی (Q) (در دوره (ماه) $t+1$ در طبقه J ام باشد به شرطی که مقدار آب ورودی (q) (در دوره (ماه) t در طبقه J ام قرار گرفته باشد.

الگوی افزار بندی فازی^۱

ایده افزار بندی فازی، در نظریه مجموعه های فازی مطرح می شود. افزار بندی فازی مشتمل بر تعدادی مجموعه های قطعی دارای عناصر منفرد است که به برش های کرانه ای موسوم هستند (۷). اگر همه مشاهدات مربوط به یک ماه خاص در فاصله ای معین [X_{min}, X_{max}] قرار داشته باشند این فاصله را می توان به تعدادی رده های فراوانی متناخل تقسیم کرد. تابع عضویت هر عنصر به یکی از این رده ها در شکل ۱ نشان داده شده است. در حالت کلی می توان احتمال گذار را از رده L ماه t به رده j در ماه $t+1$ ام به صورت زیر محاسبه نمود :

$$P_{ij}^t = \frac{\sum_Y g_i^t g_j^{t+1}}{\sum_Y g_i^t} \quad (4)$$

t ماه های سال، i رده عنصر تصادفی x در ماه t ام، j رده عنصر تصادفی x در ماه $t+1$ ام، Y کل دوره زمانی که سری زمانی مشاهدات، مورد محاسبه قرار گرفته است.

مدل ریاضی بهره برداری از سد
تابع هدف، حداقل سازی انحراف میان رهاسازی آب خروجی از سد و تقاضاهای آبیاری اراضی کشاورزی و آب آشامیدنی بالحاظ نمودن اولویت ها و محدودیت ها می باشد.

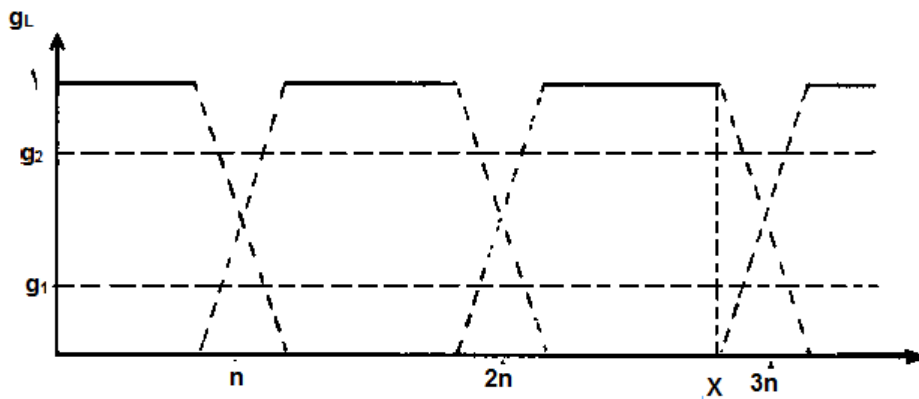
$$G(t) = G_1(t) + G_2(t) + G_3(t) + G_4(t) \quad (5)$$

این تابع کلی مشتمل بر اجزای مختلفی می باشد.

$$G_2(t) = M^3 \times \min\{R_{2t} - Q_{1t}, 0\} \quad (6)$$

G1: حداقل انحراف میان رهاسازی و تقاضای آب آشامیدنی در طول هر ماه، R_{1t} مقدار آب رهاشده از مخزن برای آشامیدن در طول هر ماه، Q_{1t} حجم مورد نیاز آب از مخزن برای تقاضای شرب در طول هر ماه می باشد.

$$G_3(t) = M^2 \times R_0 \times \min \left\{ \frac{H_t \times R_{1t}}{(H_t \times R_{1t})_{min}} - 1, 0 \right\} \quad (7)$$



شکل ۱- رده های فراوانی برای مشاهدات سری زمانی رودخانه

و نیروگاه: نیروگاه سد مشتمل بر ۲ توربین ۱۳۳ مگاواتی است که به منظور تولید انرژی برق‌آبی احداث گردیده است. برای بهره برداری از نیروگاه لازم است تراز آب بالاتر از ۱۵۶۱ متر قرار گیرد.

نتایج و بحث

در این مطالعه با استفاده از ۴۲۰ داده ورودی به سد (دوره ۳۵ ساله) و بررسی توابع خود همبستگی و خود همبستگی جزیی مشخص شد این سری، یک فرآیند تصادفی با تغییرات فصلی است. بهترین مدل SARIMA برای سری های زمانی ماهانه با استفاده از نرم افزار S-plus برآورده شده است.

$$\{X_t\} \approx SARIMA(p,d,q) \times (P,D,Q)_s \quad (15)$$

$$\{X_t\} \approx SARIMA(1,1,1) \times (0,1,1)_{12}$$

$.69(B)(1-B)(1-B^{12})y_t = .91(B).99(B^{12})\varepsilon_t$, مدل SARIMA منتخب، توانایی پیش‌بینی کوتاه مدت و بلند مدت سری زمانی ماهانه موجود را دارد و در نمودار ۲ نشان داده شده است.

باتوجه به جدول توزیع فراوانی، مقدار آب ورودی به سد لتيان، هر ماه یک دوره درنظر گرفته شده و به ۵ طبقه تقسیم‌بندی می‌شود. این محاسبات مربوط به رده‌های مختلف در ماه t ام در جدول ۱ آمده است.

باتوجه به ارتفاع و مقدار آبی که هر ماهه در سد موجود می‌باشد حجم مخزن سد به ۴ رده تقسیم گردیده و توزیع حجم آب در ماههای مختلف در جدول شماره ۲ آورده شده است.

باتوجه به مفروضات فوق، مدل پویای قطعی و تصادفی برای ۲۴۰ حالت اولیه مختلف (از نظر ماه آغازین، حجم آب اولیه مخزن و آبدی ماه قبل) حل گردید و سیاست بهره برداری بهینه ماه مربوطه (میزان آب رها شده به سمت پایین دست) محاسبه شد.

$$f_n^*(S_n, x_{ni}) = \text{Min}_i \{C_n(S_n, X_{ni}) + f_{n-1}^*(S_{n-1})\} \quad (13)$$

در مدل تصادفی از روش پسرو با کاربرد احتمال شرطی و قوع یک دبی خاص که میان همبستگی میان دوره های متوالی است، با مراحل نامحدود استفاده شده است و فرم کلیتابع هدف به صورت زیر می باشد:

$$f_t^*(S_t, I_t) = \text{Min}_{I_{t+1}} \left\{ \sum_k pr(I_{t+1} = i_k | I_t = i_t) [C(S_t, I_t) + f_{n+1}^*(S_{t+1}, I_{t+1})] \right\} \quad (14)$$

در این مدل، تعریف متغیرها مشابه مدل قطعی است به جز آنکه با دانستن S_n حالت (S_n, I_n) آبدی و حجم مخزن در ماه جاری در مرحله (n)، حالت مرحله بعد کاملاً مشخص نمی شود بلکه تنها از توزیع احتمال شرطی $\{pr(I_{t+1} = i_k | I_t = i_t)\}$ وقوع یک دبی خاص (I_t) استفاده می شود که میان همبستگی میان دوره های متوالی $t+1$ است.

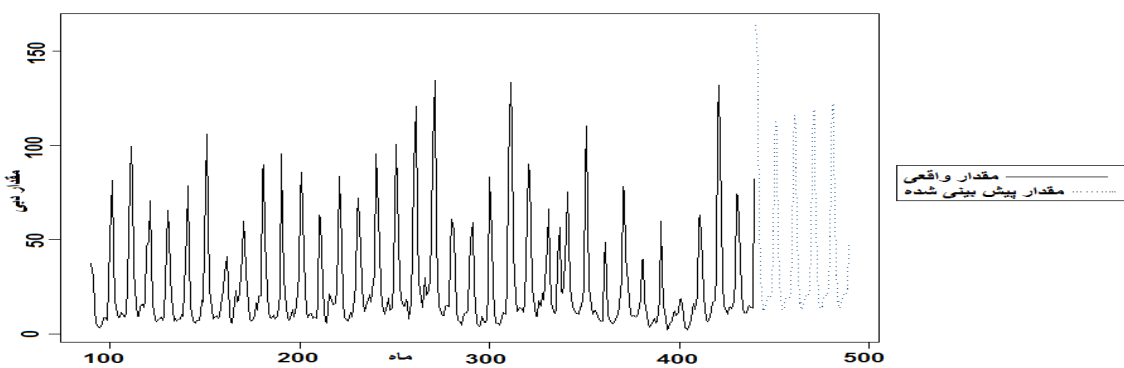
به منظور تجزیه و تحلیل بهره برداری سد لتيان، پارامترها و اطلاعات مورد نیاز معرفی می شوند (۲۳).

الف) آبدی رودخانه: داده های تاریخی مقادیر متوسط ماهانه آبدی رودخانه جاگرد براساس اندازه گیری طی یک دوره ۳۵ ساله (از فروردین ۱۳۵۵ تا اسفند ۱۳۸۹) در محل سد لتيان بدست آمداند.

ب) خروجی های مخزن سد: از داخل مخزن سد، تونلی به طول ۹/۵ کیلومتر، سالانه به میزان ۲۹۰ میلیون متر مکعب آب به تصفیه خانه تهران پارس انتقال می دهد. همچنین سرریز سد لتيان با ۴ دریچه قابلیت تخلیه حدود ۱۲۷۶ متر مکعب در ثانیه را دارد.

ج) مصارف آب: مقادیر آب مورد نیاز مصرفی سد لتيان شامل مصرف در دشت ورامین جهت آبیاری اراضی و نیز تأمین آب شرب مردم تهران است.

د) سطح و حجم و ارتفاع دریاچه: رابطه میان این سه متغیر غیر خطی می باشد. تراز حداقل دریاچه ۱۶۱۰ متر از سطح دریای آزاد و ارتفاع حداقل دریاچه از سطح دریا ۱۵۶۲ متر از سطح دریای آزاد است.



شکل ۲- میانگین ماهانه ۳۵ ساله آبدھی ورودی و برآورد پیش بینی جریان

جدول ۱- متوسط مقدار آب ورودی به سد لتیان (واحد: میلیون متر مکعب)

ماه ردی	فروردين	اردیبهشت	خرداد	تیر	مرداد	شهریور	مهر	آبان	آذر	دی	بهمن	اسفند
۱۴/۳۵	۸/۶۱	۷/۴۳	۱۰/۸۹	۸/۷۸	۵/۲۴	۳/۳۹	۴/۲۱۸	۷/۱۸	۲۰/۰۲	۳۰/۳	۲۷/۷۴	۱
۲۹/۵۳	۱۳/۲۳	۱۰/۹۲	۲۱/۰۲	۱۵/۶۶	۸/۹۱	۵/۹۲	۸/۳۸	۱۵/۲۶	۳۹/۵۲	۵۳/۴۵	۴۶/۸۷	۲
۴۴/۷۰	۱۷/۸۵	۱۴/۴۰	۳۱/۱۶	۲۲/۵۵	۱۲/۵۸	۸/۴۵	۱۲/۵۵	۲۳/۲۵	۵۹/۰۲	۷۶/۵۹	۶۶	۳
۵۹/۸۸	۲۲/۴۷	۱۷/۸۸	۴۱/۴۰	۲۹/۴۳	۱۶/۴۶	۱۰/۹۸	۱۶/۷۱	۳۱/۴۳	۷۸/۰۲	۹۹/۷۴	۸۵/۱۳	۴
۷۵/۰۶	۲۷/۰۸	۲۱/۳۶	۵۱/۴۴	۳۶/۳۱	۱۹/۹۳	۱۳/۵۲	۲۰/۸۸	۳۹/۵۱	۹۸/۰۲	۱۲۲/۸۹	۱۰۴/۲۶	۵

ماخذ: یافته‌های تحقیق

جدول ۲- متوسط حجم آب مخزن سد لتیان (واحد: میلیون متر مکعب)

ماه ردی	فروردين	اردیبهشت	خرداد	تیر	مرداد	شهریور	مهر	آبان	آذر	دی	بهمن	اسفند
۲۸/۰۵	۲۷/۴۵	۲۷/۶۸	۲۸/۱۶	۲۹/۰۵	۲۹/۸۷	۳۰/۵۷	۳۱/۵۵	۳۲/۵۸	۳۲/۹۶	۳۲/۸۱	۳۱/۵۹	۱
۳۴/۱۵	۳۲/۳۵	۳۳/۰۳	۳۴/۴۹	۳۷/۱۵	۳۹/۶۰	۴۱/۷۱	۴۴/۶۷	۴۷/۷۴	۴۸/۸۹	۴۸/۴۴	۴۴/۷۷	۲
۴۰/۰۵	۳۷/۲۵	۳۸/۳۸	۴۰/۸۲	۴۵/۲۴	۴۹/۳۴	۵۷/۷۸	۶۲/۹۱	۶۲/۹۱	۶۴/۸۲	۶۴/۰۶	۵۷/۹۴	۳
۴۶/۳۵	۴۲/۱۵	۴۳/۷۳	۴۷/۱۵	۵۳/۳۴	۵۹/۰۷	۶۳/۹۹	۷۰/۸۹	۷۸/۰۷	۸۰/۷۵	۷۹/۶۹	۷۱/۱۳	۴

ماخذ: یافته‌های تحقیق

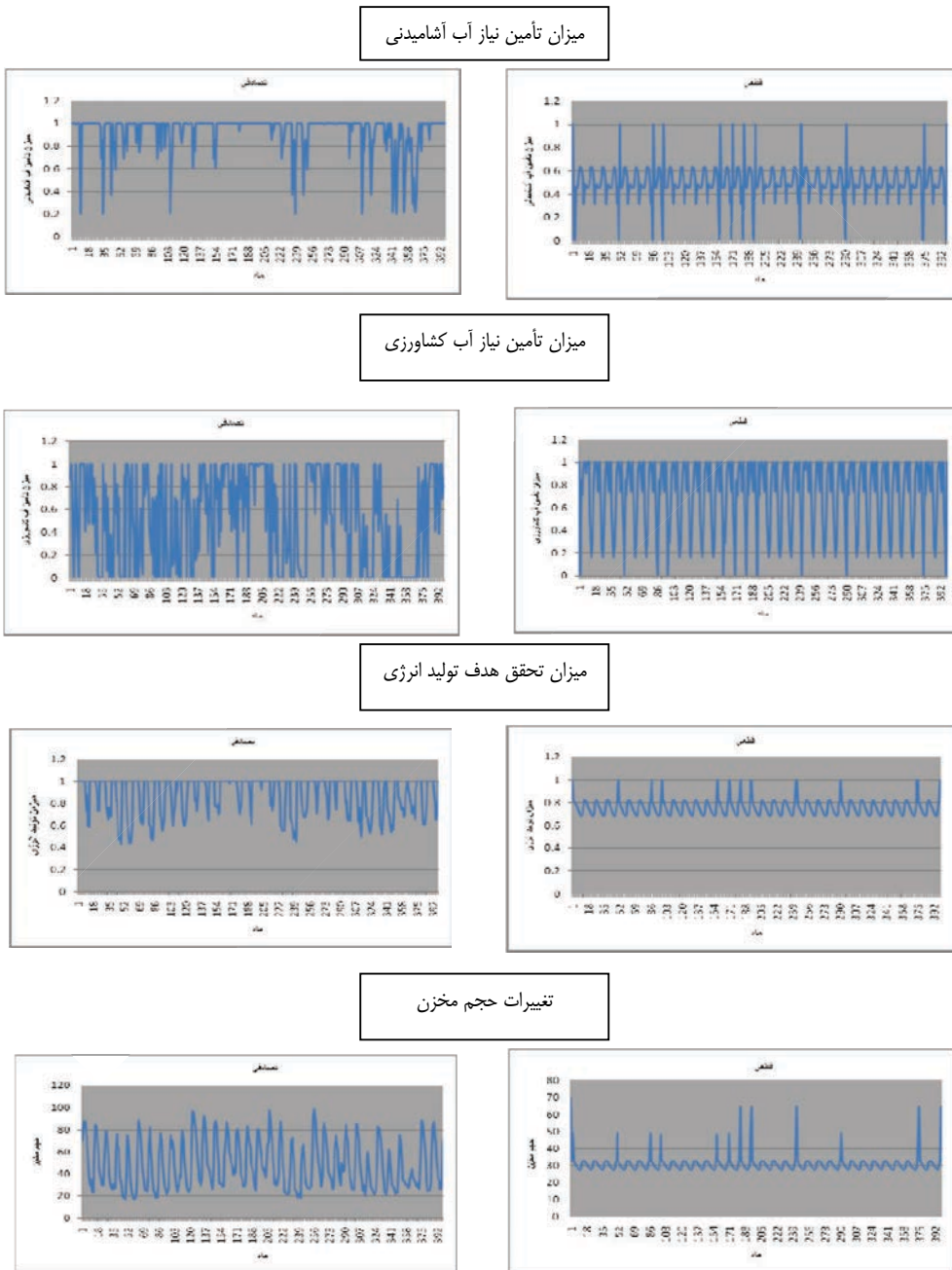
می باشد. در میان اهداف مدیریت بهره برداری از سد، تامین آب شرب تهران، به دلیل اهمیت آن، بیشترین اولویت را داشته و مدل تصادفی در تامین این نیاز موفق تر عمل می کند و در ۲۹ درصد ماهها در طول دوره بررسی نیازهای شرب را به طور کامل برآورد کرده است. در حالی که در مدل قطعی برای ۱۵ ماه امکان اجرای سیاست مورد نظر، به دلیل کمبود آب مخزن وجود نداشته است. میزان توفیق تامین آب کشاورزی در مدل تصادفی ۷۴/۵۲ درصد و مدل قطعی ۵۴/۷۶ درصد در طول دوره شبیه سازی بوده است. میزان تحقق هدف تولید انرژی در مدل تصادفی برای ۴۵ درصد از ماههای دوره شبیه سازی به طور کامل محقق شده است در حالی که در مدل قطعی در ۳ درصد ماهها نیاز تأمین انرژی به طور کامل برآورده می شود. از سویی دیگر با وجود اینکه در مدل تصادفی ۱۳ ماه حجم مخزن کمتر از میزان حداقل بوده

متغیر تصمیم، حجم آب رها شده از مخزن برای تامین نیاز آشامیدنی شهر تهران و آبیاری اراضی کشاورزی در انتهای هر ماه است. با استفاده از داده های تاریخی موجود و سیاستهای پیشنهادی توسط دو مدل می توان عملکرد مخزن را تحت دو الگوی برنامه ریزی پویای قطعی و پویای تصادفی مطابق شکل ۲ شبیه سازی نمود. میزان توفیق در تامین نیازهای آب آشامیدنی و کشاورزی و نیز تحقق هدف تولید انرژی به صورت نسبت بیان شده است.

به این معنی که اگر در این نمودارها آب رها شده (مقدار خروجی سد) برای هریک از اهداف فوق پیشتر از نیازهای آبی مذکور (مورد تقاضا) بوده است، میزان تامین برابر یک فرض شده است و در غیر این صورت برابر نسبت آب رها شده به آب مورد نیاز می باشد. تغییرات حجم آب مخزن به عنوان حالت سیستم که در مقیاس میلیون متر مکعب بیان شده است متناظر با ماههای سری زمانی مورد بررسی

شرب و کشاورزی با درصد اطمینان بالا بوده است. برای نیل به این هدف، تابع جریمه‌ای که با توجه به درصد تامین نیاز در حلقه بهینه سازی تعریف گردیده است، می‌تواند منعکس کننده هزینه ناشی از انحراف اهداف مدیریت بهینه از سد باشد.

است (۲۵ میلیون متر مکعب) میانگین حجم مخزن در طول دوره شبیه سازی در مدل تصادفی ۴۸ میلیون مترمکعب و در حالی که این میزان در مدل قطعی ۳۱ میلیون مترمکعب بوده است. اصلی‌ترین هدف مدل بهره‌برداری از سد لیبان، تأمین نیازهای

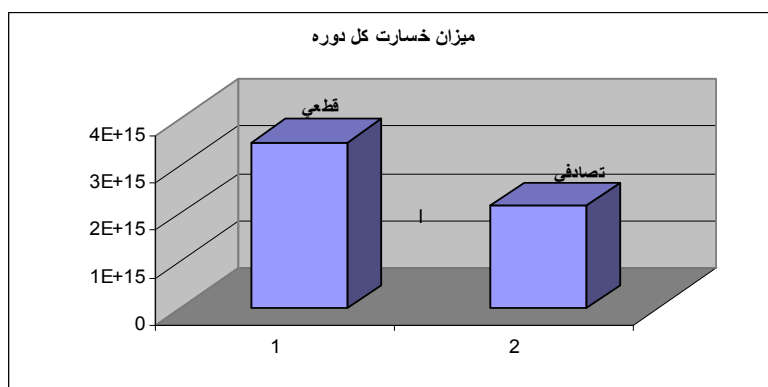


شکل ۳- شبیه سازی عملکرد سیستم طی دوره ۳۵ ساله

با وجود مشابهت نتایج تحقیق مومنی و رضایی (۹) با مطالعه حاضر، به دلیل استفاده از توزیع احتمالات گذار مارکفی بدون افزایندی آن، در مدل تصادفی و نیز عدم کاربرد تجزیه و تحلیل سری‌های زمانی در مدل قطعی، نتایج آن مطالعه از دقت کمتری برخوردار است. با وجود انجام مطالعات فراوان برای تخصیص بهینه آب سد، میان محصولات کشاورزی به دلیل نادیده گرفتن روابط حاکم بر سیستم سد مخزنی، از جامعیت کامل برخوردار نمی‌باشد. لذا پیشنهاد می‌شود با تلفیق مدیریت سد، با دیگر مدیریت بخش‌های متقاضی آب مانند مدیریت کشاورزی و شرب، ضمن شناسایی روابط حاکم بر سیستم سد مخزنی، حساسیت‌های هر بخش را بر اساس اولویت‌های موجود، تعیین و بهترین الگوی مصرف را مشخص نمود.

میزان خسارت کل براساس تابع هزینه معرفی شده از ابتدای دوره شبیه سازی (فروردین ۱۳۵۵ تا سفید ۱۳۸۹) همان‌طور که در شکل ۴ نمایش داده شده برای مدل تصادفی کمتر از ۶ درصد مقدار مربوط به مدل قطعی است. نتایج حاصل از مدل شبیه سازی با سیاست‌های بهینه رها سازی حاصل از دو مدل قطعی و تصادفی به وضوح مؤید آن است که با توجه به دقیق نبودن داده‌های تاریخی در دسترس، برای هر ماه از سال، توزیع‌های آماری فازی به نحو مطلوب تری معرف رفتار دبی رودخانه هستند.

از این جهت، مدل تصادفی بر اساس افزایش بندی فازی در تحقیق همه اهداف، از جمله تأمین نیازآیی اراضی کشاورزی دشت ورامین و شرب شهر تهران موفق تر از مدل قطعی عمل می‌کند.



شکل ۴- خسارت کل دوره حاصل از اجرای دو مدل قطعی و تصادفی

منابع

- ۱-آمریان م. ۱۳۸۰. تهییه مدل بهره‌برداری بهینه از مخزن سد بوکان به روشن برنامه ریزی پویا- شبکه عصبی مصنوعی. پایان نامه کارشناسی ارشد آبیاری. دانشگاه تربیت مدرس.
- ۲- بشیری م. و وفاخواه م. ۱۳۸۹. مقایسه روش‌های مختلف تحلیل سری‌های زمانی در پیش‌بینی دبی حوضه آبخیز کرخه. فصلنامه مهندسی آبیاری و آب ۷۷-۶۵.
- ۳- جلال کمالی ا، محمودیان شوشتاری م. و جلال کمالی ن. ۱۳۸۵. پیش‌بینی جریان ماهانه ورودی به مخزن سد شهید عباسپور با استفاده از مدل‌های سری زمانی Box-Jenkins. هفتمین سمینار بین المللی مهندسی رودخانه، دانشگاه شهید چمران اهواز.
- ۴- سعدالدین ا، هلیلی م.ق. و مساعدی ا. ۱۳۸۹. مدیریت بهره‌برداری از مخزن با استفاده از روش‌های تصمیم‌گیری چندمعیاره در سد مخزنی بوستان استان گلستان. مجله علوم و مهندسی آبخیزداری ایران ۱۱: ۶۱-۵۳.
- ۵- طراز کار مرح. و صدق آمیز م. ۱۳۸۷. مقایسه پیش‌بینی دبی جریان ماهانه رودخانه کرخه با استفاده از روش‌های سری زمانی و هوش مصنوعی مجله پژوهش سازندگی ۸۰: ۷۶-۶۸.
- ۶- کارآموز م. و عراقی‌نژاد ش. ۱۳۸۴. هیدرولوژی پیشرفته. انتشارات دانشگاه صنعتی امیرکبیر. تهران.
- ۷- کوره پزان ا. ۱۳۸۴. اصول تئوری مجموعه‌های فازی و کاربردهای آن در مدل‌سازی مسائل مهندسی آب. انتشارات جهاد دانشگاهی واحد صنعتی امیرکبیر. تهران.
- ۸- مومنی م. ۱۳۷۴. پژوهش عملیاتی (مدل‌های احتمالی). انتشارات مهر. تهران.
- ۹- مومنی م. و رضایی ن. ۱۳۸۷. مدل بهره‌برداری از مخزن سد ارس با استفاده از برنامه ریزی پویا. نشریه مدیریت صنعتی ۱: ۱۵۲-۱۳۹.

- ۱۰- نادر. و صبحی صابونی م. ۱۳۹۰. مدیریت تخصیص آب سد مهاباد با استفاده از برنامه ریزی آرمانی اولویتی. مجله تحقیقات اقتصاد کشاورزی ۱۰:۱۶-۳.
- ۱۱- نیرومند ح. ۱۳۷۶. تحلیل سری های زمانی. انتشارات دانشگاه فردوسی. مشهد.
- ۱۲- همایونی فر. و رستگاری پور. ۱۳۸۹. تخصیص آب سد لتیان بین محصولات کشاورزی در شرایط عدم حتمیت. نشریه اقتصاد و توسعه کشاورزی ۲: ۲۶۷-۲۵۹.
- ۱۳- یوسفی ن.، حجام س. و ایران تزاد پ. ۱۳۸۶. برآورد احتمالات خشکسالی و تر سالی با استفاده از زنجیره مارکف و توزیع نرمال (مطالعه موردی : قزوین). مجله پژوهش های جغرافیایی ۶: ۱۲۸-۱۲۱.
- 14- Alcigeims B., and Max B. 2007. Evaluation of stochastic reservoir operation ptimization models. *Advances in Water Resources*,32:1429-1443.
- 15-Estalrich J., and Buras N. 1992. Alternative specification of state Variables in stochastic- programming modelsof reservoir dynamic operation .*Application Mathematics and Computation*,44:143-155 .
- 16-Jovanovski V., and Delipetrov T. 2007. Auto-regressive integrated moving average (ARIMA) modeling of rainfall process estimation and forecast. *Geophysical Research Abstracts*, 9: 21-35.
- 17- Karbowksi A., Malinowski K., and Niewiadomska E. 2003.A hybrid analytic/rule-based approach to reservoir system managemeant during flood. *Decision Support Systems*, 38: 599- 610
- 18- Komornik J., Komornikova M., Mesiar R., and Szokeova D. 2006.Comparison of forecasting performance of nonlinear models of hydrological time series. *Physics and Chemistry of the Earth*, 31: 1127-1145.
- 19-Long N., Madsen H., and Rosbjerg D. 2007.Simulation and optimisation modeling approach for operation of the Hoa Binn reservoir, Vietnam. *Hydrology*,336:269-281.
- 20-Mays L.W. 1996. *Water Resources Handbook*.Newyork,USA.
- 21-Mousavi J., Mahdizadeh K., and Afshar A. 2005.A stochastic dynamic programming model with fuzzy storage, states for reservoir operations. *Advances in Water Resources*,27:1105-1110.
- 22-Tilmant A., Faouzi E.M., and Vanclrooster M. 2002. Optimal operation of multipurpose reservoirs using flexible stochastic and dynamic programming. *Applied Soft Computing*, 15: 61-74.2.
- 23- www.tw.org.ir. 1390.
- 24-Wu C.L., and Chau K.W. 2010. DATA-driven models for monthly stream flow time series prediction. *Engineering Application of Artifical Intelligence*,23:1350-1367.
- 25-Zhao T., Cai X., and Yang D. 2011. Effect of streamflow forecast uncertainty on real time reservoir operation.*Advances in Water resources*, 34:495-504.